

DOI:10.19853/j.zgjsps.1000-4602.2023.23.017

# 基于多种水环境模型耦合的TMDL评估研究

董进波<sup>1,2</sup>, 张家铨<sup>3</sup>, 武治国<sup>3</sup>, 王燕<sup>3</sup>, 傅崇德<sup>3</sup>, 王愚<sup>3</sup>

(1. 江苏满江春城市规划设计研究有限责任公司, 江苏 镇江 212008; 2. 镇江市水业有限责任公司, 江苏 镇江 212001; 3. 武汉新烽光电股份有限公司, 湖北 武汉 430073)

**摘要:** 在海绵城市建设背景下,通过构建汇水区和河湖水量水质耦合模型,模拟评估在受纳水体镇江金山湖的水环境质量达标情况下,各个汇水区所能分配的最大日负荷总量(TMDL)。耦合的多种水环境模型包括高度开发区域汇水区模型(PCSWMM)、低度开发区域汇水区模型(HSPF)、河湖模型(EFDC)。模型通过采集到的水量和水质数据进行率定及验证后,评估海绵城市建设条件下TMDL的变化情况。汇水区模型模拟结果显示,通过海绵城市建设,对面源污染物COD、NH<sub>3</sub>-N和TP负荷的削减率分别可达到90%、67%和63%以上。汇水区和河湖水量水质耦合模型对金山湖水质的模拟结果显示,各水质指标现状负荷已达到目标负荷,无需额外削减。

**关键词:** 最大日负荷总量; 金山湖; 模型耦合; 海绵城市

**中图分类号:** TU992 **文献标识码:** A **文章编号:** 1000-4602(2023)23-0118-06

## Evaluation of Total Maximum Daily Load Based on Coupling of Multiple Water Environment Models

DONG Jin-bo<sup>1,2</sup>, ZHANG Jia-quan<sup>3</sup>, WU Zhi-guo<sup>3</sup>, WANG Yan<sup>3</sup>, FU Chong-de<sup>3</sup>,  
WANG Yu<sup>3</sup>

(1. Jiangsu Manjiangchun Urban Planning and Design Co. Ltd., Zhenjiang 212008, China;  
2. Zhenjiang Water Service Group, Zhenjiang 212001, China; 3. Wuhan Newfiber Optics Electron  
Co. Ltd., Wuhan 430073, China)

**Abstract:** Under the background of sponge city construction, a model for coupling subcatchment with water quantity and quality of river and lake was established to simulate and evaluate the total maximum daily load (TMDL) that could be distributed in each subcatchment under the condition that the water environment quality of Jinshan Lake in Zhenjiang met the surface water standard. The water environment models included the highly developed subcatchment model (PCSWMM), the low developed subcatchment model (HSPF) and the river and lake model (EFDC). After calibrated and verified by the collected water quantity and quality data, the model evaluated the change of TMDL in the sponge city construction. The simulation results of subcatchment model showed that the sponge city construction demonstrated the load reduction rates of over 90%, 67% and 63% for non-point source pollutants COD, NH<sub>3</sub>-N and TP, respectively. The simulation results of the coupling model showed that the current pollution load of Jinshan Lake reached the target load and there was no need for additional reduction.

基金项目: 镇江市科技计划(社会发展)项目(SH2021012)

通信作者: 张家铨 E-mail: zhangjiaquan@newfiber.com.cn

**Key words:** total maximum daily load (TMDL); Jinshan Lake; coupling model; sponge city

广义的海绵城市建设,包括城市低冲击影响开发(LID)、雨洪管理及最大日负荷总量(TMDL)控制等,也就是关注城市的水量、水质及水生态的各种问题。镇江市是国家第一批海绵城市试点,为了保护三条主要河道及金山湖(三河一湖流域),基于各种监测数据资料,耦合多种模型,进行了TMDL控制分析,具体包含:①对包括镇江主要建成区在内的176 km<sup>2</sup>市域范围进行TMDL模型体系的构建和耦合。构建高度开发区域汇水区模型PCSWMM(PC-Storm Water Management Model)、低度开发区域汇水区模型HSPF(Hydrological Simulation Program-FORTRAN)、河湖模型EFDC(Environmental Fluid Dynamics Code)并进行率定及验证,然后对上述多种模型进行耦合,评估海绵城市建设效果。②进行海绵城市建设范围内的绩效评估。对城市建成区域进行地表面源污染负荷和水体水质状况分析,并根据各污染削减单元的海绵项目情况,模拟评估各单元的污染削减率。

## 1 TMDL及模型简介

TMDL计划是国际上较先进的水质管理措施,其目标之一就是可将可分配的污染负荷分配到各个污染源,同时考虑季节变化和安全边际,从而采取适当的污染控制措施来保证目标水体达到相应的水质标准<sup>[1-2]</sup>。污染负荷分配依据的公式如下:

$$\text{TMDL} = \text{WLA} + \text{LA} + \text{BL} + \text{MOS} \quad (1)$$

式中:WLA为允许的现存和未来点源污染负荷;LA为允许的现存和未来非点源污染负荷;BL为水体自然背景负荷;MOS为安全边际,指关于污染物负荷与受纳水体水质之间的不确定数量关系。

### 1.1 汇水区模型

汇水区模型HSPF和PCSWMM主要是进行陆域降雨对径流转变的产汇流模拟,同时也进行陆域污染物的产出模拟。HSPF适用于郊区、低度开发区域、管网系统不发达的区域;PCSWMM则适用于城市区域、高度开发区域、管网系统发达的区域。

HSPF将原本各自独立的Hydrocomp Simulation Programming(HSP)、NonPoint Source(NPS) Model、Agricultural Runoff Management(ARM) Model、Sediment and Radionuclides Transport(SERATRA)4

个模型整合并进行改良而成。其中HSP为集水区水文模型,水文模拟功能强大且精确度较高,ARM和NPS主要针对农业区的非点源污染进行模拟,SERATRA则主要用于悬浮物传输模拟。与大部分集水区模型相比,HSPF是现今较完善的可有效提供集水区水文、水质规划的工具。

PCSWMM是基于SWMM所开发的模型,主要模拟降雨-径流过程及内涝情形<sup>[3]</sup>。PCSWMM产流模块可以综合考虑下垫面覆盖、土壤类型、径流路径和管网路由对地表产流的影响,将研究区域划分为若干个子汇水区,并将这些子汇水区概化成具有统一坡度、宽度及雨水出口的可用非线性水库模拟的矩形地表。该模型提供了3种下渗模式:格林-安姆特法(Green-Ampt)、曲线数法(Curve Number)以及霍顿法(Horton)。管网汇流模块采用一维圣维南方程组进行管网流量、水位演算,有3种演算方法可选:稳流、运动波和动力波。LID模块可设置适合方案的设施结构层参数,并可将LID设施添加至子汇水区内,表现为面积百分比,或者可为某项LID设施重新分配独立的子汇水区,通过改变子汇水区的产流路径来滞留降雨,从而实现径流控制。

### 1.2 河湖模型

河道及湖泊模型EFDC主要进行点源、面源入流河道及湖泊的水动力模拟,同时也进行河道及湖泊水体水质的时空变化过程模拟。EFDC是一个通用的三维水动力和水质合并的模型,可实现河流、湖泊、水库、湿地系统、河口和海洋等水体的水动力学和水质模拟,是一个多变量有限差分模型。EFDC包括水动力模块、泥沙模块、有毒有害物模块和水质模块。其中,水质模块能模拟有机物和无机物,及其耗氧、复氧、营养盐、藻类生长、底栖藻类、水生植被(有根植被)等因子。由于湖泊和缓流河道中可能有底泥沉积,水质模块还包括了底泥通量模型,来模拟底泥作为释放营养盐的二次污染源。

## 2 研究区域与模型架构

### 2.1 研究区域

镇江市三河一湖流域包括古运河、运粮河、虹桥港、金山湖及其支流区域,如图1所示。其中,运粮河西起丹徒县高资镇九摆渡江口,向东流经八摆



渡入镇江市城区,过新河桥入金山湖,全长12.8 km;古运河东自京杭运河,北至京口闸,由城区东南向西北穿过主城区入金山湖,全长16.4 km;虹桥港位于镇江市城区东北部,是市区三条排洪干河之一,经虹桥闸注入金山湖,干河总长2.47 km。本研究将《地表水环境质量标准》中湖泊Ⅲ类水质标准,即COD为20 mg/L、 $\text{NH}_3\text{-N}$ 为1 mg/L、TP为0.05 mg/L,作为受纳水体金山湖的水环境质量标准。

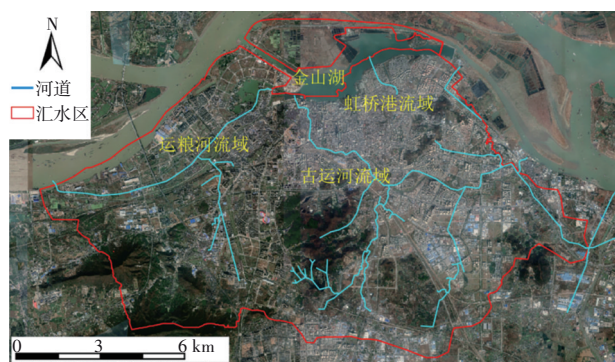


图1 镇江市三河一湖流域示意

Fig.1 Three rivers and one lake in Zhenjiang City

## 2.2 海绵城市建设内容概况

镇江海绵建设项目覆盖范围较小,主要位于老城区,本研究选择3个含有海绵改造设施的汇水区排口(分别以古运河、运粮河及虹桥港为受纳水体),以单位面积负荷量为考察指标,分析海绵建设对面源污染负荷的削减效果。选取的古运河排口位于中山桥附近,运粮河排口位于桃西路附近,虹桥港排口位于焦山路附近,海绵建设前后各排口位置及汇水区范围详见图2。其中,桃西路排口的汇水区内海绵设施最多,总面积达到43 075  $\text{m}^2$ ,包括透水铺装25 764  $\text{m}^2$ 、生物滞留池4 246  $\text{m}^2$ 、绿色屋顶196  $\text{m}^2$ 、雨水花园12 657  $\text{m}^2$ 、植草沟212  $\text{m}^2$ ;中山桥排口的汇水区内海绵设施总面积为3 160  $\text{m}^2$ ,包括透水铺装2 060  $\text{m}^2$ 、生物滞留池1 100  $\text{m}^2$ ;焦山路排口的汇水区内海绵设施总面积为678  $\text{m}^2$ ,包括透水铺装350  $\text{m}^2$ 、生物滞留池328  $\text{m}^2$ 。



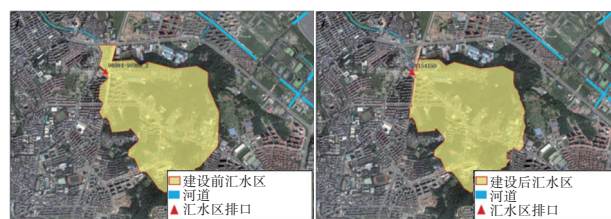
a. 中山桥排口(建设前)

b. 中山桥排口(建设后)



c. 桃西路排口(建设前)

d. 桃西路排口(建设后)



e. 焦山路排口(建设前)

f. 焦山路排口(建设后)

图2 典型排口的汇水区

Fig.2 Watershed of typical outlets

## 2.3 模型构建数据

在研究区域范围内,居民楼为18.7  $\text{km}^2$ 、绿地为32.3  $\text{km}^2$ 、道路为34.0  $\text{km}^2$ 、水体为66.4  $\text{km}^2$ 、其他类型为25.4  $\text{km}^2$ ,各类型下垫面分布情况如图3所示。排水系统包含410.0 km污水管网、693.1 km雨水管网、44.8 km合流制管网,13座污水泵站、14座雨水泵站、6座合流制提升泵站,2座污水处理厂。研究区域内共有215个已竣工的海绵项目,其中源头项目182个、过程项目24个、末端系统项目9个。

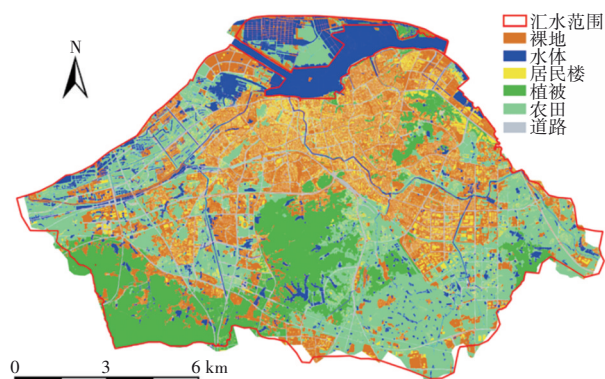


图3 下垫面情况

Fig.3 Situation of underlying surface

## 2.4 模型耦合

本研究的整体模型架构如图4所示。陆域汇水区模型HSPF的模拟范围为水环境流域内的低度开发区域地带;PCSWMM模拟范围为水环境流域内的高度开发区域地带,两模型最终将汇水区产汇流模拟结果汇入河道及湖泊模型中。河湖水动力水质模型EFDC则接收HSPF及PCSWMM的模拟结果,

模拟镇江三河一湖的水动力及水质情况。

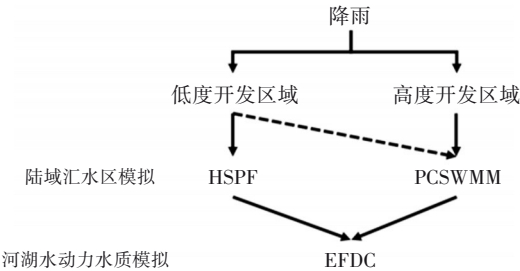


图 4 模型耦合架构流程

Fig.4 Model-coupled architecture flowchart

2.5 模型率定和验证结果

HSPF 参数经率定后,其数值如表 1 所示。

表 1 HSPF 参数率定结果

Tab.1 Parameter calibration results of HSPF

参数	数值	参数	数值
下层土壤储水量/in	6~6.5	冲蚀系数	0.01
上层土壤储水量/in	1.13	冲蚀指数	1
下层土壤蒸发参数	0.1	河床泥沙深度/ft	100
入渗指数/(in·h <sup>-1</sup> )	0.16	砂传输有效粒径/in	砂为 0.04,黏土为 0.001
地下水退水系数/in <sup>-1</sup>	0.7	砂沉降速度/(in·s <sup>-1</sup> )	砂为 0.1,黏土为 0.05
地下水退水参数	0.98	砂密度/(g·cm <sup>-3</sup> )	2.65
壤中流参数	0.75	砂指数	2
壤中流退水曲线参数	0.5	底床之沉淀临界剪应力/(lb·ft <sup>-2</sup> )	0.3
土壤分离系数	0.5~0.7	底床之冲蚀临界剪应力/(lb·ft <sup>-2</sup> )	0.5
土壤再压密率/d	0.01~0.03	泥沙冲蚀系数/(lb·ft <sup>-2</sup> ·d <sup>-1</sup> )	0.9
大气分离砂量进入率/(lb·acre <sup>-1</sup> ·d <sup>-1</sup> )	2	地表覆盖率	0.25~0.95
运移系数	1	模拟物质最大贮存量/(lb·acre <sup>-1</sup> )	0.004~9.6

注：“in”为英寸,1 in=25.4 mm;“lb”为磅,1 lb≈0.453 6 kg;“acre”为英亩,1 acre≈4 047 m<sup>2</sup>;“ft”为英尺,1 ft=0.304 8 m。

PCSWMM 的参数率定参考美国环保署出版的 SWMM 手册进行。其中,水文和水动力参数率定结果如下:管道曼宁系数、不透水区曼宁系数、透水区曼宁系数分别为 0.005~0.04、0.15、0.3,不透水区洼蓄量和透水区洼蓄量分别为 14.3~28.5、37~55 mm,无洼蓄量比例为 25%,Green Ampt 吸力水头为 250~290 mm。水质参数率定结果如表 2 所示。

表 2 SWMM 水质参数率定结果

Tab.2 Water quality parameter calibration results of SWMM

下垫面类型	污染指标	累积参数		冲刷参数	
		最大累积量/(kg·hm <sup>-2</sup> )	速率常数/d <sup>-1</sup>	冲刷系数/mm <sup>-1</sup>	冲刷指数
绿地	COD	50	0.5	0.06	0.54
	NH <sub>3</sub> -N	1	0.5	0.005	0.30
	Org-P(有机磷)	0.2	0.5	0.004 2	0.35
	PO <sub>4</sub> <sup>3-</sup> -P	0.8	0.5	0.004 2	0.35
道路	COD	60	0.5	0.02	0.53
	NH <sub>3</sub> -N	0.8	0.5	0.006	0.20
	Org-P	0.16	0.5	0.012	0.35
	PO <sub>4</sub> <sup>3-</sup> -P	0.64	0.5	0.012	0.35
屋面	COD	40	0.5	0.09	0.50
	NH <sub>3</sub> -N	0.6	0.5	0.007	0.40
	Org-P	0.08	0.5	0.008 5	0.45
	PO <sub>4</sub> <sup>3-</sup> -P	0.32	0.5	0.008 5	0.45
人行硬地	COD	110	0.5	0.04	1.20
	NH <sub>3</sub> -N	0.6	0.5	0.004	0.40
	Org-P	0.3	0.5	0.003	0.50
	PO <sub>4</sub> <sup>3-</sup> -P	1.2	0.5	0.003	0.50

EFDC 影响水动力方面的参数较少,影响水流的参数主要是底部粗糙度;水质方面涉及的参数比水动力方面要多得多,相关参数率定结果见表 3。

表 3 EFDC 参数率定结果

Tab.3 Parameter calibration results of EFDC

参数	数值	参数	数值
藻类生长氨半饱和常数/(mg·L <sup>-1</sup> )	0.035	易分解颗粒态有机磷的最小分解速率/d <sup>-1</sup>	0.035
藻类生长磷半饱和常数/(mg·L <sup>-1</sup> )	0.005	溶解态有机磷的最小分解速率/d <sup>-1</sup>	0.04
藻类生长最佳温度的下界/°C	18	最大硝化反应速率/d <sup>-1</sup>	0.2
藻类生长最佳温度的上界/°C	35	不易分解颗粒态有机氮的最小分解速率/d <sup>-1</sup>	0.002
低于最佳温度的温度影响系数	0.008	易分解颗粒态有机氮的最小分解速率/d <sup>-1</sup>	0.035
高于最佳温度的温度影响系数	0.008	溶解态有机氮的最小分解速率/d <sup>-1</sup>	0.04
藻类新陈代谢的温度影响系数	0.069	最大藻类生长率/d <sup>-1</sup>	2
不易分解颗粒态有机碳的最小分解速率/d <sup>-1</sup>	0.001	藻类新陈代谢率/d <sup>-1</sup>	0.2
易分解颗粒态有机碳的最小分解速率/d <sup>-1</sup>	0.01	藻类被捕食率/d <sup>-1</sup>	0.015
溶解态有机碳的最小分解速率/d <sup>-1</sup>	0.01	不易分解颗粒态有机物的沉降速率/(m·d <sup>-1</sup> )	0.05
不易分解颗粒态有机磷的最小分解速率/d <sup>-1</sup>	0.002	易分解颗粒态有机物的沉降速率/(m·d <sup>-1</sup> )	0.05



本研究以2019年降雨数据作为边界条件,采用人工采集的水样水质检测数据对模型进行率定和验证,金山湖的水质模拟结果见图5。率定后的模型对COD、NH<sub>3</sub>-N和TP浓度的模拟误差值分别约为3、0.4、0.2 mg/L,模拟结果都在数值误差1阶数范围内。总体来看,COD和TP浓度的模拟效果良好,NH<sub>3</sub>-N浓度的模拟效果尚可接受,可以用于研究区域的TMDL评估工作。

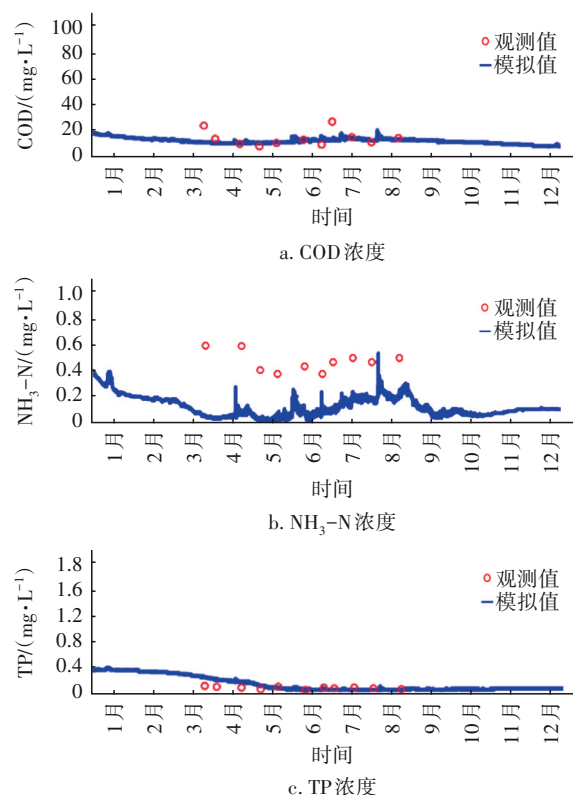


图5 金山湖水水质模拟结果

Fig.5 Water quality simulation results of Jinshan Lake

### 3 TMDL评估结果

#### 3.1 面源污染控制效果评估

根据模拟结果,以各排口的受纳水体统计各污染指标的负荷量,统计结果如表4所示。可知,在2019年全年降雨条件下,模拟范围内镇江三河一湖流域的COD总负荷量为3 501.11 t/a,NH<sub>3</sub>-N总负荷量为267.63 t/a,TP总负荷量为37.67 t/a。

对镇江三河一湖流域的污染负荷占比进行分析,综合来看,古运河所接收的污染负荷量最大,COD、NH<sub>3</sub>-N和TP负荷占比分别为54.80%、49.81%、47.04%,古运河汇水区域范围较大,因此排放的污染量也较大;其次为虹桥港,COD、NH<sub>3</sub>-N及TP负荷占比分别为21.25%、33.82%和31.32%,

虹桥港汇水区域所排放的营养盐量占比较大。

表4 海绵设施建设后各水体的污染负荷统计

Tab.4 Statistics of pollution load of water bodies

after sponge construction			
项目	COD	NH <sub>3</sub> -N	TP
古运河	1 918.52	133.31	17.72
运粮河	526.03	8.11	3.16
虹桥港	744.05	90.52	11.80
金山湖	312.51	35.69	4.99
总计	3 501.11	267.63	37.67

从入河形式角度对各污染指标的负荷量进行统计分析,结果如表5所示。可知,通过雨水排口入河的污染负荷量最大,COD、NH<sub>3</sub>-N和TP负荷分别为2 109.42、205.98、26.73 t/a,占比分别为60.25%、76.96%、70.96%,这是因为雨水排口的汇水区域范围较大,所以排放的污染量也较多。另外,通过溢流口入河的污染负荷量也较大,COD、NH<sub>3</sub>-N和TP负荷占比分别为10.08%、15.75%和14.65%。

表5 不同入河方式的污染负荷统计

Tab.5 Statistics of pollution load for different river

entry methods			
入河形式	COD	NH <sub>3</sub> -N	TP
泵站排口	9.64	0.24	0.14
溢流口	352.79	42.16	5.52
面源	1 029.26	19.25	5.28
雨水排口	2 109.42	205.98	26.73
总计	3 501.11	267.63	37.67

#### 3.2 海绵设施建设前后对比分析

依据模型模拟结果统计海绵设施建设前后各个排口的污染负荷量,并计算各个排口不同污染物的单位面积负荷量。结果表明,海绵设施对COD、NH<sub>3</sub>-N及TP均有不同程度的去除,其中对COD的去除效果最佳,3个排口的COD单位面积污染负荷削减率均在90%以上;另外,桃西路排口汇水区含有的海绵设施最多,该排口各个污染物单位面积负荷量削减效果最好,COD、NH<sub>3</sub>-N及TP指标的削减率均在99%以上;中山桥排口汇水区含有的海绵设施数量次之,各个污染物单位面积负荷量削减效果仅次于桃西路排口,COD、NH<sub>3</sub>-N及TP指标的削减率分别为95.7%、69.8%、72.1%。通过对3个排口的统计分析可知,海绵设施可有效去除面源污染中

的COD、NH<sub>3</sub>-N及TP,且海绵设施数量越多,对单位面积污染负荷量的削减效果越好。

3.3 水质达标情况分析

依据镇江市三河一湖流域水质目标,采用模型体系进行模拟,评估河湖各污染指标日平均浓度95%达标(允许5%的偏差)情况下的入河湖污染削减需求量及比例,结果见表6,其中,现状负荷是指海绵设施建设后的入河湖污染负荷日均总量。可

知,运粮河的COD负荷还需削减35.56%才能达到水质目标,NH<sub>3</sub>-N和TP负荷则不需要再削减;古运河的各指标达标情况均较差,其中COD负荷需削减80.17%、NH<sub>3</sub>-N负荷需削减75.35%、TP负荷需削减85.44%;虹桥港的达标情况最差,COD、NH<sub>3</sub>-N和TP负荷分别需要削减87.04%、99.03%、99.07%;金山湖各指标均达标,无需额外削减。总体而言,金山湖及运粮河的达标情况较好。

表6 镇江市三河一湖的水质达标情况

Tab.6 Water quality status for three rivers and one lake in Zhenjiang City

项目	COD			NH <sub>3</sub> -N			TP		
	现状负荷/ (kg·d <sup>-1</sup> )	目标负荷/ (kg·d <sup>-1</sup> )	削减率/%	现状负荷/ (kg·d <sup>-1</sup> )	目标负荷/ (kg·d <sup>-1</sup> )	削减率/%	现状负荷/ (kg·d <sup>-1</sup> )	目标负荷/ (kg·d <sup>-1</sup> )	削减率/%
运粮河	834.34	537.62	35.56	12.73	94.28	—	5.32	7.71	—
古运河	5 500.35	1 090.49	80.17	393.45	96.98	75.35	50.98	7.42	85.44
虹桥港	2 038.49	264.27	87.04	248.00	2.40	99.03	32.32	0.30	99.07
金山湖	96.10	485.34	—	1.80	37.13	—	1.38	2.21	—

4 结论

① 基于陆域模型体系叠加海绵建设方案,采用2019年降雨数据对入河湖陆域污染情况进行分析,结果表明,海绵设施对COD、NH<sub>3</sub>-N及TP均有不同程度的去除,其中对COD的去除效果最佳,3个排口的COD单位面积污染负荷削减率均超过90%。

② 基于研究区域的海绵建设情况和镇江市三河一湖流域水质目标,通过模型计算为使各河湖水质达标还需要削减的污染负荷,结果显示:运粮河流域的NH<sub>3</sub>-N和TP负荷不需要再进行削减,COD负荷还需削减35.56%;古运河各指标达标情况均较差,其中COD负荷需削减80.17%、NH<sub>3</sub>-N负荷需削减75.35%、TP负荷需削减85.44%;金山湖各指标均已达标,无需额外削减;虹桥港的达标情况最差,COD、NH<sub>3</sub>-N和TP负荷分别需要削减87.04%、99.03%、99.07%。

参考文献:

[1] 徐宗学,徐华山,吴晓猛.流域TMDL计划中的关键技术[J].水利水电科技进展,2014,34(1):8-13.  
XU Zongxue, XU Huashan, WU Xiaomeng. Key technologies of total maximum daily load (TMDL) plan for river basin [J]. Advances in Science and Technology

of Water Resources, 2014, 34(1):8-13 (in Chinese).  
[2] 孟伟,张楠,张远,等.流域水质目标管理技术研究(I)—控制单元的总量控制技术[J].环境科学研究,2007,20(4):1-8.  
MENG Wei, ZHANG Nan, ZHANG Yuan, et al. The study on technique of basin water quality target management I : pollutant total amount control technique in control unit [J]. Research of Environmental Sciences, 2007, 20 (4) : 1-8 (in Chinese).  
[3] 加拿大计算水力研究所. PCSWMM雨洪管理模型理论与应用[M]. 于磊,龙玉桥,译.北京:中国环境出版集团,2019:1-54.  
Computational Hydraulics International. PCSWMM Stormwater Management Model Theory and Application [M]. YU Lei, LONG Yuqiao, translated. Beijing: China Environmental Science Press, 2019: 1-54 (in Chinese).

作者简介:董进波(1981- ),男,湖北天门人,硕士,高级工程师,主要研究方向为市政规划设计、海绵城市和水环境治理。

E-mail:zjsy0511@qq.com

收稿日期:2022-08-14

修回日期:2022-11-05

(编辑:刘贵春)